

INSTITUTO TECNOLÓGICO DE BUENOS AIRES

22.42 LABORATORIO DE ELECTRÓNICA

Trabajo Práctico N°2

Grupo 3

BERTACHINI, Germán	58750
LAMBERTUCCI, Guido Enrique	58009
LONDERO BONAPARTE, Tomás Guillermo	58150
MECHOULAM, Alan	58438
SCAPOLLA, Franco	58465

Profesores

COSSUTTA, Pablo Martín
WEILL, María
SALVATI, Matías

Presentado: 20/09/19

Índice

1. Introducción	2
1.1. Capacitor	4
2. Filtro pasabajos	5

1. Introducción

En el presente trabajo de laboratorio se estudian filtros RLC de segundo orden, haciendo uso del osciloscopio, el generador de funciones y el analizador de impedancias. También, se realiza un programa para automatizar las mediciones del osciloscopio; dicho programa será de gran utilidad en trabajos prácticos futuros.

Caracterización de componentes pasivos

Inductancia

A continuación, se realizará un estudio acerca del comportamiento de una bobina, observando como varían sus magnitudes según la frecuencia y analizando sus circuitos equivalentes.

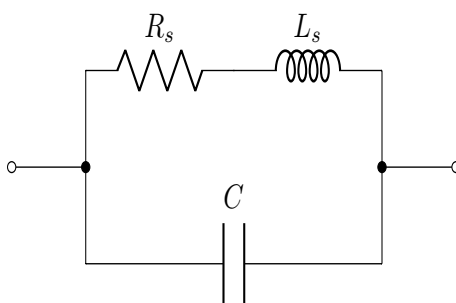
En un sistema simplificado, la bobina sólo tiene un componente inductivo, sin embargo, dicho planteo dista en gran medida de la realidad donde, debido en gran medida a su fabricación, las inductancias tendrán tanto componentes resistivos como capacitivos.

Las características previamente mencionadas nos llevarán a plantear distintos circuitos equivalentes. Se analizará cual de ellos refleja en mejor medida la práctica experimental realizada.

Para comenzar, se realiza el estudio de las magnitudes propias del inductor en función de la frecuencia.

Las frecuencias utilizadas fueron detectadas ya que eran las que permitían ver con claridad como variaba la fase. Las mediciones se tomaron en el modo serie del analizador de impedancias, las mismas se pueden apreciar en la tabla (1).

Se plantea el siguiente circuito equivalente:



Al ser las bobinas un conjunto de espiras enrolladas una gran cantidad de vueltas, el componente resistivo de la inductancia se debe a la resistencia eléctrica del material utilizado en su fabricación. También, se podría considerar la resistencia propia de los terminales. Por otro lado, debido a que constructivamente cada una de las vueltas de la bobina están aisladas eléctricamente entre

si debido al barniz que recubre el material y a la pequeña diferencia de tensión, se puede apreciar el comportamiento de un capacitor entre vuelta y vuelta del cable.

$f_s[Hz]$	$L_s[mH]$	Q	$R_s[\Omega]$	$ Z [\Omega]$	$\theta[^\circ]$
10	0.490	0.0	0.91	0.96	18.7
100	0.480	3.0	0.10	0.32	72.0
1K	0.480	16.6	0.18	3.02	86.0
5K	0.485	25.8	0.59	15.23	87.8
10K	0.482	26.0	1.16	30.32	87.8
20K	0.478	23.8	2.52	60.11	87.6
30K	0.474	22.1	4.04	89.35	87.4
50K	0.467	19.5	7.50	146.70	87.1
75K	0.462	16.7	13.00	217.80	86.6
100K	0.459	14.4	20.00	289.20	86.0
200K	0.466	8.6	67.70	589.50	83.4
400K	0.529	4.1	322	1368	76.4
450K	0.556	3.5	450	1635	74.1
500K	0.589	2.9	632	1954	71.2
550K	0.627	2.4	893	2344	67.6
600K	0.669	2.0	1281	2829	63.1
650K	0.708	1.5	1868	3442	57.1
700K	0.724	1.2	2763	4217	49.1
725K	0.711	1.0	3356	4664	44.0
750K	0.671	0.8	4060	5147	38.0
775K	0.595	0.6	4831	5633	31.0
800K	0.472	0.4	5608	6089	22.9
825K	0.301	0.2	6264	6456	14.0
850K	0.094	0.1	6653	6672	4.4
855K	0.053	0.0	6692	6698	2.5
862K5	-0.100	0.0	6715	6715	-0.5
870K	-0.719	0.1	6706	6718	-3.4
875K	-0.111	0.1	6677	6705	-5.3
900K	-0.290	0.3	6356	6563	-14.4
925K	-0.421	0.4	5787	6282	-22.9
950K	-0.500	0.6	5114	5921	-30.3
1M	-0.549	0.9	3820	5146	-42.1
1M1	-0.470	1.5	2132	3884	-56.7
1M2	-0.368	2.1	1306	3068	-64.8
1M3	-0.291	2.7	874	2531	-69.8
1M4	-0.235	3.3	626	2159	-73.2
2M	-0.093	6.7	175	1179	-81.5
4M	-19.79 μ	16.8	29.6	498.4	-86.6
10M	-2.893 μ	27.3	6.7	181.9	-87.9

Tabla 1: Magnitudes del inductor en función de la frecuencia

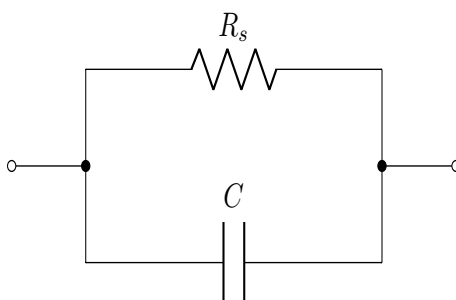
1.1. Capacitor

Se procederá a realizar el mismo análisis planteado anteriormente para una inductancia pero, para este caso con un capacitor, analizando como varían sus magnitudes según la frecuencia a la que trabaja y el estudio de sus circuitos equivalentes.

Para comenzar, se realiza el estudio de las magnitudes propias del capacitor en función de la frecuencia.

Las frecuencias utilizadas fueron detectadas ya que eran las que permitían ver con claridad como variaba la fase. Las mediciones se tomaron en el modo paralelo del analizador de impedancias por lo que se medirán conductancias. Las mismas se pueden apreciar en la tabla (2).

Se plantea el siguiente circuito equivalente:



La resistencia observada se debe a la resistencia eléctrica del material del componente(film). También, se podría considerar la resistencia propia de los terminales.

Por otro lado, se podría considerar una inductancia en el modelo equivalente pero debido al método de fabricación y por las frecuencias con las que se puede trabajar en el laboratorio no se pudo hallar una frecuencia donde se apreciará un comportamiento de tipo inductivo. El máximo cambio de fase obtenido fue de aproximadamente 4° a $13MHz$.

$f_P[Hz]$	$C_P[nF]$	D	$R_P[S]$	$ Z [S]$	$\theta[^\circ]$
10	2.2	0.000	0.00	0.14μ	89.9
100	2.27	0.010	0.00	1.43μ	89.90
1K	2.26	0.004	0.05μ	14.22μ	89.80
5K	2.25	0.007	0.49μ	70.73μ	89.60
10K	2.24	0.007	1μ	$0.14m$	89.56
20K	2.23	0.010	3μ	$0.28m$	89.42
30K	2.23	0.011	5μ	$0.42m$	89.35
50K	2.22	0.013	9μ	$0.70m$	89.28
75K	2.21	0.014	14μ	$1.04m$	89.22
100K	2.21	0.014	19μ	$1.38m$	89.21
200K	2.19	0.015	42μ	$2.75m$	89.30
400K	2.18	0.016	88μ	$5.47m$	89.08
450K	2.17	0.016	100μ	$6.15m$	89.07
500K	2.17	0.016	111μ	$6.82m$	89.06
550K	2.12	0.017	124μ	$7.40m$	89.06
650K	2.17	0.017	149μ	$8.84m$	89.04
750K	2.16	0.017	173μ	$10.20m$	89.03
800K	2.16	0.017	186μ	$10.87m$	89.02
900K	2.16	0.017	210μ	$12.22m$	89.01
1M	2.16	0.018	240μ	$13.57m$	89.00
1M2	2.16	0.018	290μ	$16.27m$	88.97
2M	2.16	0.019	520μ	$27.12m$	88.90
4M	2.2	0.023	$1.270m$	$55.38m$	88.68
7M	2.3	0.032	$3.200m$	$101.05m$	88.16
9M	2.43	0.039	0.005	0.13	87.70
11M	2.63	0.050	0.009	0.18	87.10
12M	2.76	0.057	0.012	0.21	86.70
13M	2.91	0.065	0.015	0.24	86.30

Tabla 2: Magnitudes del capacitor en función de la frecuencia

2. Filtro pasabajos

En esta sección se analizó la respuesta al escalón del circuito mostrado en la Figura (1). Sabiendo que $L = 500 \mu H$, $C = 33 nF$ y $\xi = 0,33$, se determinó que $R = 81,24 \Omega$. Además, se calculó la frecuencia de resonancia de este circuito, siendo esta $f_0 = 39,2 kHz$.

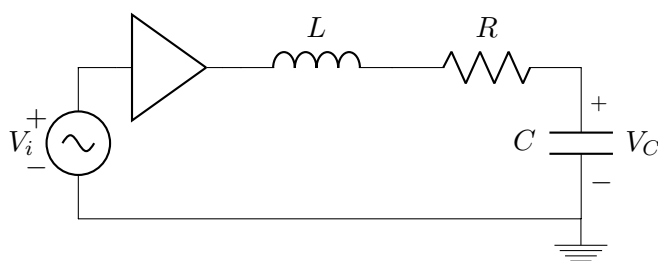


Figura 1: Primera etapa del circuito.

Luego se procedió a analizar distintos valores de importancia del circuito, como lo son la frecuencia de oscilación del transitorio, el tiempo de establecimiento del 5 % y el sobrepico. Para ello se calculó primero la transferencia del circuito:

$$H(S) = \frac{1}{LCS^2 + RCS + 1} \quad (1)$$

Es así que, sabiendo que la transformada de Laplace del escalón es $\frac{1}{s}$, y la salida del sistema es $Y(S) = X(S) \cdot H(S)$, se obtuvo la respuesta al escalón de este:

$$V_C(t) = 1 - e^{-t \frac{R}{2L}} \cdot \left[\frac{1}{2\sqrt{4LC - RC^2}} \cdot \text{sen} \left(\frac{\sqrt{4LC - RC^2}}{2LC} \cdot t \right) + \cos \left(\frac{\sqrt{4LC - RC^2}}{2LC} \cdot t - \pi \right) \right] \quad (2)$$

Además, se sabe que la frecuencia de oscilación del transitorio se puede calcular como

$$f_t = f_0 \cdot \sqrt{|\xi^2 - 1|} = 37 \text{ kHz} \quad (3)$$

Por otro lado, con (3) se calcula el sobrepico,

COLOCAR CALCULOS.

Considerando los valores comerciales, y sabiendo que se disponía de una bobina de una inductancia de $500 \mu H$, se utilizaron una resistencia de 82Ω y un capacitor de 33 nF . Es así que se preparó el circuito en un protoboard y se procedió a realizar las mediciones pertinentes y así compararlas con los cálculos teóricos. Este circuito fue excitado con una señal cuadrada, la cual posee una frecuencia de $3,92 \text{ kHz}$ y una amplitud tal que la tensión de salida máxima sea de $1 V_{pp}$. Es así que se observó la respuesta al escalón del sistema, al inicio de cada cuadrada.

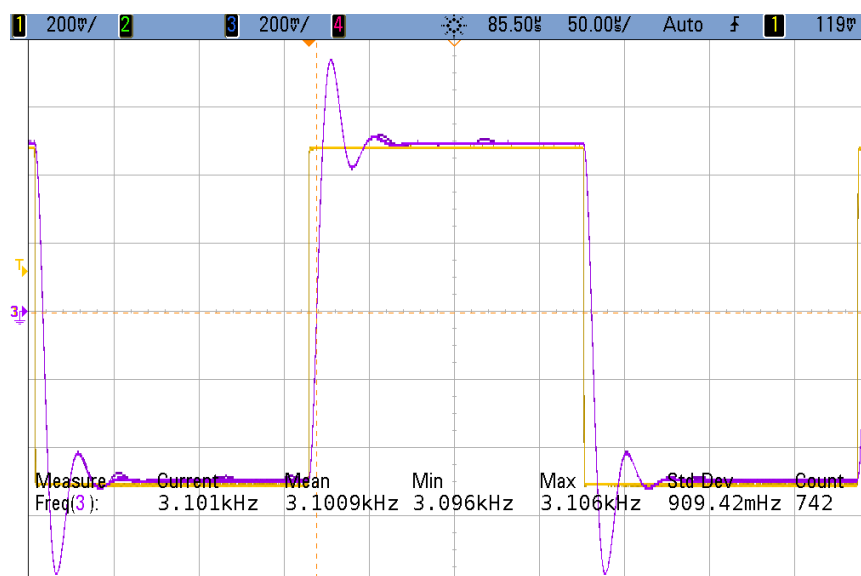


Figura 2: Respuesta al escalón del circuito.

De esta forma, se midió un pseudoperíodo de $24,4 \mu s$, un sobrepico de $245 mV$ y un tiempo de establecimiento del 5 % de $33,6 \mu s$.

Luego, se obtuvo el diagrama de BODE del sistema. Es así que se compara este con el teórico y con el simulado.

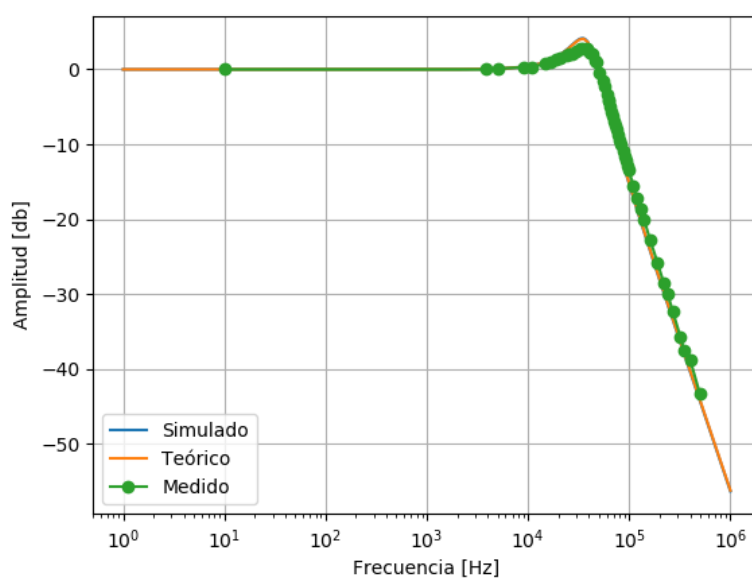


Figura 3: Comparación de diagramas de Bode en módulo.

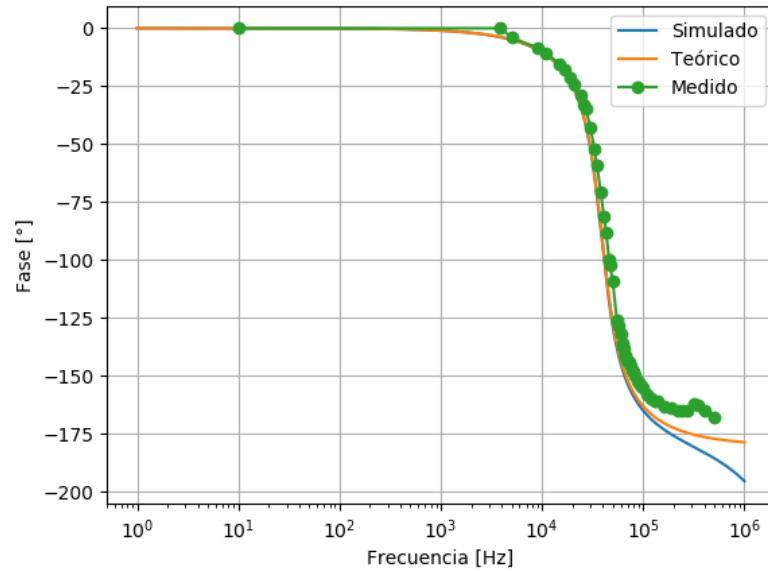


Figura 4: Comparación de diagramas de Bode en fase.

PUNTO E.